

кристаллов под давлением, тем более, что двойникование в кадмии идет чрезвычайно легко<sup>47</sup>.

Фазовая Р — Т-диаграмма ртути показана на рис. 10; видно, что граница между твердыми фазами  $\alpha$  и  $\beta$  идет почти параллельно

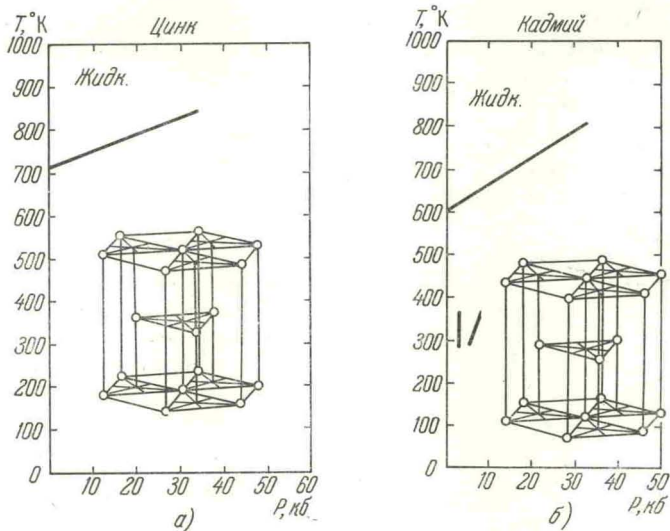


Рис. 9. Р — Т-диаграммы Zn и Cd.

Кривые плавления получены методом ДТА<sup>45</sup>. Участки границ между твердыми фазами Cd найдены по скачкам объема на монокристаллах<sup>44</sup>.

кривой плавления. Так как модификация  $\beta$ -Hg устойчива при низких температурах и атмосферном давлении, ее исследовали с помощью низкотемпературной рентгеновской техники<sup>49</sup>. Анализ показал, что фаза высокого давления  $\beta$ -Hg обладает структурой тетрагональной объемноцентрированной с двумя атомами в ячейке и отношением осей  $c/a = 0,706$ . В этой структуре каждый атом имеет двух ближайших соседей в направлении оси  $c$ , тем самым атомы как бы связываются в узкие вереницы, вытянутые вдоль этой оси. При исследовании электросопротивления у  $\beta$ -модификации ртути до 100 кбар полиморфизма<sup>37</sup> не было отмечено.

##### 5. РЕДКОЗЕМЕЛЬНЫЕ ЭЛЕМЕНТЫ

Редкоземельные элементы отличаются большой близостью физических и химических свойств, что является следствием особенностей их электронного строения. Обычно эти металлы разделяют на две подгруппы — цериевую (от Ce до Gd) и иттриевую (от Tb до Lu); в пределах этих подгрупп свойства лантанидов сходны еще более. Мы рассмотрим лишь одно из этих свойств — полиморфизм.

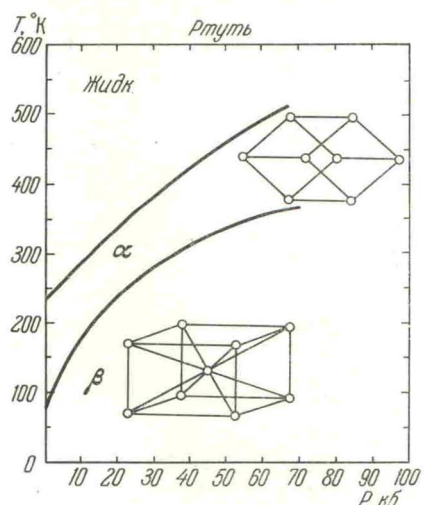


Рис. 10. Фазовая Р — Т-диаграмма Hg (по данным работы<sup>48</sup>).

При обычных условиях все элементы иттриевой подгруппы кристаллизуются со структурой гексагональной плотноупакованной типа магния (тип А3) с отношением осей  $c/a = 1,6$ . Исключение здесь составляет иттербий, обладающий кубической гранецентрированной решеткой.

Среди элементов цериевой подгруппы наблюдается большее разнообразие кристаллических структур.  $\alpha$ -лантан,  $\alpha$ -празеодим и  $\alpha$ -неодим имеют решетку гексагональную плотноупакованную (тип лантана А3') с отношением осей  $c/a = 3,2$ . Эта структура характеризуется сменой

слоев в упаковке вида АВАСА... Самарий также обладает гексагональной плотноупакованной решеткой, но с иной упаковкой слоев — АВАВСВСАСА... — и отношением осей  $c/a = 7,25$ ; однако истинной структурой самария является ромбоэдрическая. Металлический церий при обычных условиях имеет две стабильные фазы: одна из них —  $\gamma$ -церий с решеткой кубической гранецентрированной, другая — метастабильная фаза  $\beta$ -церий с гексагональной плотноупакованной типа А3, область стабильности которой на  $P$  —  $T$ -диаграмме еще не определена. Европий обладает структурой кубической объемноцентрированной.

Сейчас для всех лантанидов за весьма малым исключением установлен температурный полиморфизм, причем все высокотемпературные модификации имеют кубическую объемноцентрирован-

Рис. 11. Фазовая  $P$  —  $T$ -диаграмма Ce (по работам 51 и 53).

Граница  $\gamma \rightarrow \alpha$  получена методом скачков объема, возможная граница фаз  $\alpha$ -CeIII (штрих-пунктир) получена из кривых зависимости электросопротивления от давления.

ную структуру. Для многих лантанидов известен полиморфизм и под действием высокого давления. Кажется весьма вероятным, что имеющие сходные свойства лантаниды будут обладать сходным полиморфизмом и проявят большое подобие в  $P$  —  $T$ -диаграммах. К сожалению, мы располагаем сейчас слишком скучными сведениями относительно  $P$  —  $T$ -диаграмм редких земель.

На рис. 11 показана  $P$  —  $T$ -диаграмма церия. Превращение  $\gamma \rightarrow \alpha$  в церии — одно из самых примечательных хотя бы потому, что является изоморфным переходом; этот переход при комнатной температуре сопровождается значительным скачкообразным изменением объема, в то время как структура модификации высокого давления остается по-прежнему кубической гранецентрированной<sup>4</sup>.

Обратный переход  $\alpha \rightarrow \gamma$  с понижением давления идет с некоторым запозданием, гистерезисом, причем с ростом температуры этот гистерезис уменьшается. Уменьшается также  $\Delta V$  (скачок объема при переходе) и  $\Delta Q$  (тепллота перехода). Это обстоятельство в свое время дало повод для предположения о том, что фазовая граница между  $\alpha$ - и  $\gamma$ -модификациями закончится критической точкой с координатами  $280^\circ\text{C}$ ,  $18,5 \text{ kG/cm}^2$ <sup>50</sup>. Нужно сказать, что несколько позже увеличение точности эксперимента позволило продлить границу до координаты  $400^\circ\text{C}$ ,  $20 \text{ kG/cm}^2$  и дало возможность думать, что эта фазовая граница все же

